

# 200A GeV $^{32}\text{S}$ 与 Cu 作用 产生的重碎片的角分布

荆贵茹 任国孝

(中国科学院高能物理研究所, 北京 100039)

## 摘要

测量了 200 A GeV  $^{32}\text{S}$  核与 Cu 作用产生的重核碎片 P, Si, Al 和 Mg 的角分布, 得出它们的横动量分布宽度  $\sigma_{p_t}$  在 130—270 MeV/c 的范围.

## 一、引言

在相对论性核-核碰撞中, 大横动量  $p_t$  的出现被认为是核物质相变的一个信号. 因此对核碎片横动量分布的研究是有意义的. 在超高能宇宙线级联作用的研究中, 核碎片的横动量也是一个重要的输入量.

过去已有几个工作测量了相对论性核-核作用中产生的核碎片的角分布, 给出了核碎片横动量的信息. 早期的研究是在 Bevalac 能区(1—2A GeV)进行的, 给出碎片的横动量服从高斯分布. 分布的宽度  $\sigma_{p_t}$  (与碎片的平均横动量相关) 与束流能量和靶核性质无关<sup>[1]</sup>, 只依赖于弹丸和碎片的质量, 如下式所示:

$$\sigma_{p_t}^2 = 4\sigma_0^2 M_F (M_p - M_F) / M_p^2, \quad (1)$$

这里  $M_p$  和  $M_F$  分别是弹丸和碎片核的质量,  $\sigma_0$  是一个拟合参数, 约为 160 MeV/c 左右.

近年来由于更高能量的重离子加速器 BNL AGS 和 CERN SPS 的建成, 核-核碰撞中核碎片横动量分布的研究也移到了超相对论性能区. P. B. Price 等测量了 14.5 A GeV  $^{28}\text{Si}$  与 Cu 和 Pb 碰撞所产生的核碎片 ( $Z_F=8-13$ ) 的角分布<sup>[2]</sup>. G. Gerbier 等测量了 200 A GeV  $^{16}\text{O}$  与 Pb 碰撞产生的碎片 C 和 N 的角分布<sup>[3]</sup>. 这些结果表明, 在 14.5-200 A GeV 能区,  $\sigma_{p_t}$  仍与能量和靶核性质无关, 也近似满足(1)式的关系.

为进一步研究超相对论性能区  $\sigma_{p_t}$  的性质, 我们测量了 200 A GeV  $^{32}\text{S}$  与 Cu 作用产生的核碎片的角分布. 并首次报道了几种核碎片 (P, Si, Al 和 Mg) 的横动量分布宽度.

## 二、实验

CERN SPS 的 200 A GeV  $^{32}\text{S}$  束, 垂直照射由铜靶与塑料核径迹探测器 CR-39 相互迭合组成的探测器. 关于探测器的结构, 测量方法和轨迹重建的详细情况, 参看文献[4].

这里选择 5 块 Cu 板及其中放置的 20 片 CR-39 作为一个靶, 来测量入射 S 粒子经过靶后的出射粒子(如果未发生改变电荷的作用, 出射粒子仍是 S; 如果发生了作用, 则出射粒子分别是 P, Si, … 等碎片核.) 的偏转角  $\theta$ . 靶前的 CR-39 片确定入射 S 粒子的电荷和位置, 靶后的两片 CR-39 确定出射粒子的电荷和位置. 粒子位置的测量误差为  $0.66\mu\text{m}$ , 由此而引起的偏转角的角分辨为  $0.021\text{ mrad}$ . 电荷分辨达到  $0.12 e$ . 本实验的样本为 5000 个 S, 1490 个 P, 1104 个 Si, 510 个 Al 和 612 个 Mg 核.

### 三、结果和讨论

实验测出的核碎片的角度偏转  $\theta$ , 包含以下几个方面的贡献: 核散裂和电磁分解的横动量, 核碎片的多次库仑散射和角度测量误差. 我们要测定的是前面两个过程所导致的横动量分布的  $\sigma_{p_t}$ , 因此要把多次库仑散射和角分辨的因素扣除.

在图 1 中给出了出射粒子 S, P, Si, Al 和 Mg 的  $\frac{1}{\theta} \frac{dN}{d\theta}$  分布. 每种碎片的角分布都可以用高斯分布拟合. 其中 S 的角分布, 只是由多次库仑散射造成的, 其高斯拟合的宽度值  $0.0591\text{ mrad}$  与理论计算值基本一致. 假定所有核碎片的质量数近似为其电荷数的二倍, 它们的库仑散射应该与 S 相同. 对其它碎片的角分布进行高斯拟合, 所得宽度  $\sigma_\theta$  列于表 1 的第二行. 第三行中给出了拟合的每自由度的  $\chi^2$  值, 看来拟合是合理的.

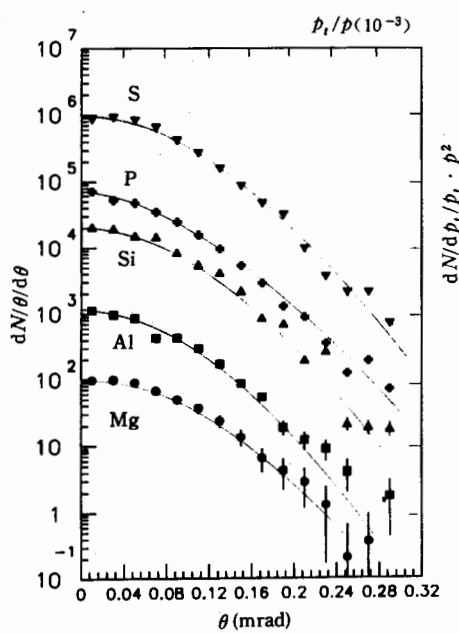


图 1 200 AGeV 的  $^{32}\text{S}$  经过 Cu 和 CR-39 靶后探测到的弹丸碎片的角分布

图中 P, Si, Al 和 Mg 的数据分别乘以因子  $1/5$ ,

$$1/10, \frac{1}{100} \text{ 和 } 1/1000.$$

表 1 200 A GeV 的 S 核经过 3.15cm 的 Cu 和 CR-39 塑料片后的 S 及其碎片的角分布和横动量

核碎片电荷	16	15	14	13	12
$\sigma_\theta(\text{mrad})$	$0.0627 \pm 0.0001$	$0.0768 \pm 0.0002$	$0.0694 \pm 0.0001$	$0.0711 \pm 0.0002$	$0.0681 \pm 0.0002$
$\chi^2/\text{自由度}$ (高斯拟合)	0.69	0.82	1.17	4.92	1.92
$\sigma_\theta(\text{mrad})$	0.0591	0.0739	0.0661	0.0679	0.0648
对角分辨修正后					
$\sigma_\theta(\text{mrad})$	0	0.0444	0.0296	0.0334	0.0266
对多次散射修正后					
$\sigma_{p_t}(\text{MeV}/c)$		$266 \pm 17$	$166 \pm 23$	$174 \pm 20$	$128 \pm 22$

如上所述, 我们把碎片的角分布看作三个高斯分布的卷积, 这三个高斯分布分别联系于核散裂和电磁分解, 多次库仑散射(宽度  $0.0591\text{ mrad}$ )和角分辨(宽度  $0.021\text{ mrad}$ ). 首先对实验数据进行角度测量误差的修正, 修正后的结果列在表 1 第四行. 然后对多次库仑

散射进行修正,所得结果列在表1第五行,这就是我们所要求的角分布的宽度.

由角分布可导出横动量分布.因为横动量与总动量  $p$  的比为:  $p_t/p = \sin\theta$ . 在  $\theta$  很小时, 近似地  $p_t/p \approx \theta$  ( $\theta$  的单位是弧度). 对每种碎片而言, 总动量  $p$  是一个常数. 因此, 图1的横坐标即是  $p_t$  除以  $p$  (标在图的上边). 同样可知,  $\frac{1}{\theta} \frac{dN}{d\theta} = (\frac{1}{p_t} \frac{dN}{dp_t}) p^2$ . 即图1的纵坐标为横动量分布乘以  $p^2$  (标在图的右边). 因而碎片的角分布亦即它的横动量分布. 横动量分布的宽度  $\sigma_{p_t} = p \cdot \sigma_\theta$ . 由  $\sigma_\theta$  值得出的  $\sigma_{p_t}$  值列于表1中的第六行. 由  $\sigma_{p_t}$  值可直接得到平均横动量(乘以 1.25).

由表1中看出, 弹丸碎片 P 的  $\sigma_{p_t}$  值大于其它电荷值较小的碎片的值, 似与式(1)不符. 文献[5]研究了 200 A GeV  $^{32}\text{S}$  与核乳胶的作用, 给出了电磁分解过程  $^{32}\text{S}(\gamma, p)^{31}\text{P}$  中质子  $p$  的横动量分布, 由该分布计算出  $\sigma_{p_t} \geq 266 \text{ MeV}/c$ . 这表明, 当总能量更高, 碎片质量更大时, 电磁分解的  $\sigma_{p_t}$  似乎不能用(1)式描写. 遗憾的是, 文献[5]中没有测量其它碎片的  $\sigma_{p_t}$  值, 无法进行更多的比较. 本实验中除 P 以外的其它碎片的  $\sigma_{p_t}$  值与文献[2]和[3]中的基本一致. 这进一步说明, 在 200 A GeV 能区, 碎片的  $\sigma_{p_t}$  仍然与弹丸能量和靶核性质无关. 但是对于较重的碎片, 如 P 核的较大的  $\sigma_{p_t}$  还需进行更多的实验和研究.

本工作的实验部分是在 Berkeley 完成的. 感谢加州大学 Berkeley 分校 P. B. Price 教授和他的实验组的合作和帮助. 数据分析在高能物理研究所三室 VAX 计算机上完成. 感谢该机组给予的支持和帮助.

### 参 考 文 献

- [1] D. E. Grerner et. al., *Phys. Rev. Lett.*, **35**(1975), 152.
- [2] P. B. Price et. al., *Phys. Rev.*, **C43**(1991), 835.
- [3] G. Gerbier et. al., *Phys. Rev. Lett.*, **59**(1987), 2535.
- [4] 任国孝, 高能物理与核物理, **15**(1991), 1064.
- [5] G. Singh et. al., *Phys. Rev.*, **C41**(1990), 999.

## Angular Distributions of Projectile Fragments Produced in Collisions of 200 A GeV $^{32}\text{S}$ Beam with Cu

JING GUIRU REN GUOXIAO

(Institute of High Energy Physics, Academia Sinica, Beijing 100039)

### ABSTRACT

Angular distributions of projectile fragments P, Si, Al and Mg produced in collisions of 200 A GeV  $^{32}\text{S}$  beam with Cu are measured. The range of  $\sigma_{p_t}$  deduced is within 130—270 MeV/ $c$ .